

ARM 微处理器启动和调试浅析

刘 强

中国电子科技集团公司第二十七研究所 郑州 450015

摘 要: 简要介绍了 ARM7 体系结构及其特点,对 ARM7 微处理器的启动过程以及调试过程进行了分析。同时结合 AT91M40800 ARM 处理器的结构,叙述了其启动代码的组成和调试过程的内容。

关键词: ARM 重映射 启动代码 中断 JTAG

中图分类号: TP273.5

文献标识码: A

1 前言

ARM 微处理器广泛应用于工业控制、仪器仪表、汽车电子、通信、家用消费等嵌入式设备,由于传统的 8/16 位处理器速度不够快以及内存不够大,在一些工程设计中已经不能满足需求了,而 32 位的 ARM 微处理器以其完整的体系结构发展系列,小体积、低功耗、低成本、高性能,及时根据嵌入的对象的不同进行功能上的扩展的优势,在众多种类的嵌入式微处理器中脱颖而出,深受设计者们的欢迎。设计者利用 ARM 处理器的出色性能可得到完全满足其确切要求的设计方案,而且,借助于第三方开发者广泛的支持,设计者可以使用丰富的标准开发工具即快速又简单的来完成自己的设计开发工作。ARM 微处理器目前有很多系列,广泛使用的是 ARM7 和 ARM9 系列,本文主要针对 ARM7 系列的启动与调试过程进行讨论。

2 结构特点

ARM7DTMI 为低功耗 32 位 RISC(精简指令计算机)型处理器,具有:

- 嵌入式 ICE-RT 逻辑:ICE-RT 逻辑是一种基于 JTAG 的 ARM 的内核调试通道,通过 ICE-RT 逻辑设计者可以实现在线调试以及编程功能,例如条件断点,单步运行。因为这些设备都在片上,ICE-RT 技术避免使用笨重的、不可靠的探针接插设备。嵌入在芯片中的调试模块与外部的系统时序是独立的。

- 非常低的功耗:ARM7DTMI 采用 ARMV4T 结构,分为三级流水,大小统一的指令与数据 Cache,平均功耗为 0.6mW/MHz,在对功耗比较敏感的手持设备的开发应用中,低的功耗将大大增加电池使用时间。

- 最大 4G 的寻址能力:在嵌入式应用中,寻址大小的提高意味着系统可以有更大的存储空间和外扩设备能力的提高。

- 0.9MIPS/MHz 的处理能力:若系统时钟速度为 66MHz,则每条指令平均执行 1.9 个时钟周期,指令执行速度是非常快的。

- 支持 32 位 ARM 指令集和 16 位 Thumb 指令集:32 位 ARM 指令集工作在 ARM 状态,每条指令具有多种操作功能,具有很高的使用效率;Thumb 指令集工作在 Thumb 状态下,是常用的 32 位 ARM 指令集的子集,压缩成 16 位宽的操作码,这意味着程序存储器可以比使用 32 位指令集占用的空间更小,成本更低。在程序执行时,16 位指令解压成全 32 位的 ARM 指令集,设计者可根据实际需求,在子程序里使用 16 位 Thumb 指令集,减少代码大小。

- 增强型乘法器(multiplier):与以前处理器相比性能更高,可产生全 64 位的计算结果。

ARM7 处理器支持用户、FIQ、IRQ、管理、终止、系统、未定义等 7 种处理器模式,除用户模式以外的其它模式都叫做特权模式,除用户和系统以外的其它 5 种模式叫做异常模式。大部分应用程序都在用户模式下运行,当处理器处于用户模式下时,执行的程序无法访问一些被保护的系统资源,以利于操作系统控制系统资源的使用;也不能改变模式,否则就会导致一次异常。

对于系统模式,任何异常都不会导致进入这一模式,而且它使用的寄存器和用户模式下基本相同,主要是用于有访问系统资源请求而又避免使用额外的寄存器的操作系统任务。在特权模式下,它们可以完全访问系统资源,可以自由地改变模式,在处理特定的异常时,系统进入对应的异常模式下。这5种异常模式都有各自额外的寄存器,用于避免在发生异常的时候与用户模式下的程序发生冲突^{[1][2]}。

3 启动代码

由于对程序模块化简单化的要求,大部分的ARM程序都是用C/C++语言编写的。然而,在ARM系统上电复位运行后,要设置中断、初始化各个模式的堆栈、设置系统时钟频率,还涉及到存储器的地址重映射以及重映射后中断地址的转移、初始化主程序用到的存储区等过程,而这些过程都是针对ARM内部寄存器结构的操作,用C语言编程是无法实现的。因此在转到C/C++程序之前,需要用ARM的汇编语言编写启动程序,当完成上述过程后再从启动程序跳转到C程序运行。在ARM设计开发中,启动代码的编写是一个极重要的过程,由于ARM处理器的启动过程相对其它处理器较为复杂,如51单片机,导致许多初学者对ARM处理器的启动代码的编写感到困惑。下面就结合ATMEL公司的AT91M40800的启动代码编写过程进行分析比较。

3.1 REMAP(重映射)

在进行具体代码编写前有必要弄清楚REMAP的意义与作用,我们都清楚任何一个处理器在复位后都从地址0读取第一条指令并执行,也就是说在上电后必须有一个只读存储器位于地址0上面,这样才能保证处理器有正确可用的指令。但是与RAM相比ROM有总线窄(8或16位)、访问时间长、不能随心更改内容的缺点,尤其是在中断处理过程中,这些缺点既增加了中断处理所需时间,同时也不能在运行中动态的改变中断向量表。为了解决这些问题,当ARM7初始化时把对实时性要求较高的中断向量程序复制到RAM中,当ARM7初始化结束后,就把RAM和ROM的地址进行切换,把ROM放到其它自定义的地址上,使RAM位于地址0上,

当中断发生后处理器从RAM中读取程序从而在执行时提高处理速度。这些不同类型存储器所处地址的切换就是REMAP。

不同厂家的ARM片子实现REMAP的方式虽然不同结果却相同,都是把RAM映射到地址0上。AT91M40800是通过向EBI Remap Control Register(外部总线接口重映射控制寄存器)的第0位写入1来实现REMAP操作的,该寄存器的地址是0xFFE00020,代码形式如下。AT91M40800内部有8K的RAM,首地址位于地址0x00300000上,当执行完REMAP后,其首地址就位于地址0x0上了。而ROM的地址根据其大小,通过EBI Chip Select Register(外部总线接口片选寄存器)0可以在0x00400000—0xFFBFFFFF之间设置^[3]。

MOV R0, #0x00000001 ;将常数1存到R0里

MOV R1, #0xFFE00020 ;将重映射控制寄存器的地址存到R1中

STR R0, [R1] ;向重映射控制寄存器的0位写入1,实现REMAP

实际具体应用时还要考虑REMAP后ROM的地址,一般是在REMAP前保存Remap以后的跳转地址,当相关寄存器设置好后,在该地址重新赋予PC从而使程序跳到正确的位置上去,因此AT91M40800实际应用的REMAP代码如下,存储器在REMAP前后地址变化情况见图1。

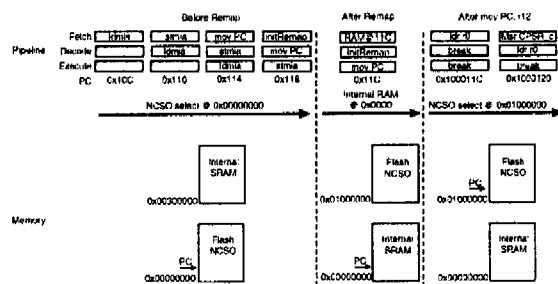


图1 REMAP前后存储器地址变化示意图

LDR R12, AfterRemapAdr ;保存实际跳转地址

ADR R11, EBI_Table

LDMIA R11, {R0—R10} ;把EBI_Table定义的参数装到R0—R10

STMIA R10, {R0—R9} ;R0—R9的参数写入到从EBI_BASE开始的10个寄存器里,设

置各片选地址范围、数据宽度,同时执行 REMAP。

MOV PC, R12 ;恢复实际跳转地址

EBL_Table DCD EBL_CSR0_Val ;定义外部

总线接口配置参数

DCD EBL_CSR1_Val

DCD EBL_CSR2_Val

DCD EBL_CSR3_Val

DCD EBL_CSR4_Val

DCD EBL_CSR5_Val

DCD EBL_CSR6_Val

DCD EBL_CSR7_Val

DCD 0x00000001 ;执行 REMAP 的参数

DCD EBL_MCR_Val

DCD EBL_BASE ;定义外部总线接口寄存器的基地址

AfterRemapAdr DCD AfterRemap ;定义实际跳转地址

AfterRemap

如果具体应用中对实时性要求不高或系统应用没有另加外围设备的话,完全可以不使用 REMAP,这样使用起来更加简单。但对于 AT91M40800 如果需要外扩外围设备的话,就得必须执行 REMAP,否则无法对外扩的设备进行选择操作。

表 1 ARM 中断向量表

中断类型	ARM 模式	优先级别	正常地址	高向量地址
复位	管理	1(最高)	0x00000000	0xFFFF0000
未定义指令	未定义	6	0x00000004	0xFFFF0004
软件中断 SWI	管理	6	0x00000008	0xFFFF0008
读取指令终止	终止	5	0x0000000C	0xFFFF000C
访问数据终止	终止	2	0x00000010	0xFFFF0010
IRQ 中断	IRQ	4	0x00000018	0xFFFF0018
FIQ 快速中断	FIQ	3	0x0000001C	0xFFFF001C

3.2 中断向量设置

ARM7 支持 7 种类型的中断,中断向量一般位于 0X0-0X1C 的 8 个字空间中。但 ARM 也支持高地址向量,也就是中断向量可以位于 0XFFF0000-0XFFF001C 的 8 个字空间中,具体情况要看生产厂家是否支持这个设定,中断向量如表 1^[1] 所示。每当其中的某个异常发生时,PC 值将被强置到相应的中断向量处,同时对当前运行状态进行压栈保存。每个中断向量处放置一个跳转指令到相应的中断服务程序去进行处理。

在执行 REMAP 之前 AT91M40800 的中断

代码形式如下:

Reset_Vec B Hard_Reset

Undef_Vec B Undef_Vec

SWI_Vec B SWI_Vec

PAbt_Vec B PAbt_Vec

DAbt_Vec B DAbt_Vec

NOF

IRQ_Vec B IRQ_Vec

FIQ_Vec B FIQ_Vec

指令 B 是跳转到标号所在地址的程序上去,在标号处(如 Hard_Reset)编写相关处理程序,标号地址在程序编译时编译器会自动计算。上面这些代码位于 ROM 里 0X0-0X1C 上,当执行 REMAP 后就不起作用了。而新的中断处理程序在 REMAP 前从 ROM 里被复制到内部 8K RAM 中,从地址 0 开始向后以 4 字节对准依次排列,代码形式如下:

Vectors LDR PC, Reset_Ad-
dr

LDR PC, Undef _
Addr

LDR PC, SWI_Addr

LDR PC, PAbt_Ad-
dr

LDR PC, DAbt_Ad-
dr

LDR PC, DAbt_Ad-
dr

LDR PC, DAbt_Ad-
dr

NOF

LDR PC, IRQ_Addr

LDR PC, FIQ_Addr

Reset_Addr DCD Soft_Reset

Undef_Addr DCD Undef_Handler

SWI_Addr DCD SWI_Handler

PAbt_Addr DCD PAbt_Handler

DAbt_Addr DCD DAbt_Handler

DCD 0

IRQ_Addr DCD IRQ_Handler

FIQ_Addr DCD FIQ_Handler

Soft_Reset B Your Soft_Re-

set Routine

Undef_Handler B Your Undef_
Handler Routine

SWI_Handler B Your SWI_
Handler Routine

PAbt_Handler B Your PAbt_

Handler Routine
 DAbt_Handler B Your DAbt_
 Handler Routine
 IRQ_Handler B Your IRQ_
 Handler Routine
 FIQ_Handler B Your FIQ_
 Handler Routine

3.3 设置系统时钟

ARM7 片子的主时钟可以工作在很宽的频率范围上,为了减少设计难度,有些 ARM 片子内部集成有 PLL 电路,这样用户就可以用低频率的晶振通过 PLL 电路获得一个较高频率的时钟,从而可降低开发成本。AT91M40800 内部没有 PLL 电路,其系统时钟取决于外部的输入时钟,因此该过程不用考虑。

3.4 中断向量复制

中断向量复制的功能是把前面定义的中断向量代码从 ROM 中复制到 RAM 中,这样当 REMAP 后, RAM 首地址切换到地址 0 上,ARM7 就从 RAM 读取中断指令。中断向量复制使用寄存器批传输指令 LDMIA 和 STMIA 实现,下面是 AT91M40800 的中断向量复制代码:

```
ADR R8, Vectors ;把 ROM 里中断向量的首地址加载到 R8
MOV R9, # RAM_Base_Adr ;把 REMPA 前 RAM 的地址加载到 R9
LDMIA R8!, {R0-R7} ;复制中断向量代码到 RAM
STMIA R9!, {R0-R7}
LDMIA R8!, {R0-R7}
STMIA R9!, {R0-R7}
```

3.5 设置各模式堆栈

启动代码中各模式堆栈空间的设置是为中断服务的,当系统响应中断时要保存当前运行的状态和当前参数就需要一个存储空间,所以对每个模式都要进行堆栈初始化工作,给每个模式的 SP 定义一个堆栈地址和堆栈空间,堆栈大小视需要而定。需要注意的是,对每种模式进行堆栈初始化都要进入相应的模式,才能给各自的 SP 进行定义,在系统初始化完成之前不能对用户模式的堆栈进行初始化,因为用户模式不能对 CPSR 进行操作,处理器也就不能转换到其它的模式中进行相应的操作。要知道,整个初始化工作都是在特权模式下进行的,系统在上电或复位

时即自动进入特权模式。模式的切换是通过寄存器 CPSR(当前程序状态寄存器)的 0-4 位写入相应数值进行设置的。AT91M40800 各模式堆栈空间的设置的汇编代码如下:

```
LDR R0, =Top_Stack ;加载栈顶地址
MSR CPSR, # Mode_UND;OR:I_Bit;OR:F_Bit ;进入未定义模式
MOV SP, R0 ;设置未定义堆栈空间指针
SUB R0, R0, # UND_Stack_Size ;计算下个堆栈的地址
MSR CPSR, # Mode_ABT;OR:I_Bit;OR:F_Bit
MOV SP, R0
SUB R0, R0, # ABT_Stack_Size
MSR CPSR, # Mode_FIQ;OR:I_Bit;OR:F_Bit
MOV SP, R0
SUB R0, R0, # FIQ_Stack_Size
MSR CPSR, # Mode_IRQ;OR:I_Bit;OR:F_Bit
MOV SP, R0
SUB R0, R0, # IRQ_Stack_Size
MSR CPSR, # Mode_SVC;OR:I_Bit;OR:F_Bit
MOV SP, R0
SUB R0, R0, # SVC_Stack_Size ;计算下个用户堆栈的地址
MSR CPSR, # Mode_USR ;进入用户模式
MOV SP, R0 ;设置用户堆栈空间指针
```

3.6 C 程序入口

当以上过程完成后,系统就可以跳到 C 程序处运行主程序了,在 ARM 的汇编语言里调用外部 C 语言程序很简单,首先声明一个外部 C 程序的名称,然后把外部 C 程序的地址加载,通过 BX 指令就可以跳到 C 程序处运行。进入 C 程序的汇编代码如下:

```
IMPORT __main ;用关键字 'IMPORT' 声名 main 为外部程序
LDR R0, =__main ;把 main 程序的入口地址赋予 R0
BX R0 ;利用 BX 指令跳转到 main 处执行 C 程序
```


下面是 C 程序 main:

```
int main (void){ 用户自己的主程序 }
```

3.7 小结

回顾上面的过程,可以看出 ARM7 的启动代码的编写过程其实并不复杂,只要对照所用芯片的资料,通过其内部寄存器设置好它运行所必须的条件,就可以很容易的正常运行起来。图 2 是 ARM 启动代码的流程图^[4]。

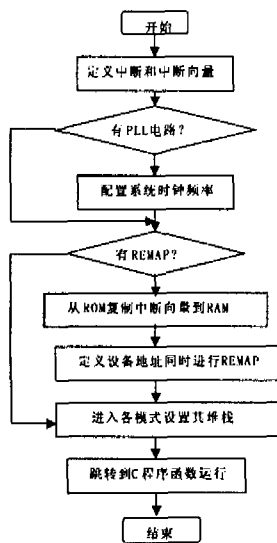


图 2 ARM 启动代码流程图

4 编译设置和调试

4.1 编译设置

为了让 ARM 程序的编译器在程序编译链接时清楚存储区都在那些地址范围上以及不同类型的用户数据存放在 RAM 中的什么位置,就需要通过 SCATTER(分散)文件来设置,其格式为文本格式,当用户程序进行编译时,编译器按其能识别的格式读取该文件的内容,根据 SCATTER 文件里用户的设定对所有数据的存放位置自动进行安排。要注意的是分散描述文件中的定义要按照系统重映射后的存储器分布情况进行^[5]。

下面是 AT91M40800 的分散文件,这里 AT91M40800 除了 8K 的片上 RAM 外,还外扩了 16K 字节的 RAM 以及 16 位宽 256K 的 FLASH ROM,起始地址分别设定在 0x02000000 和 0x01000000。

```
FLASH 0x01000000 0x00040000
{
```

FLASH 0x01000000 0x00040000 ;ROM 起始地址位于 0x01000000,大小 256K

```
{
```

Startup.o(Reset, +FIRST); 启动代码放到 ROM 开始位置

* (+RO); 其它代码和只读数据放在启动代码后面

```
}
```

ON_CHIP_RAM 0x00000000 0x00002000; 片上 RAM 起始地址位于 0x00,大小 8K

```
{
```

*.o (+RW); 一部分程序读写数据放到片上 RAM 里

```
}
```

OFF_CHIP_RAM 0x02000000 0x00004000 ;片外 RAM 起始地址位于 0x02000000,大小 16K

```
{
```

*.o (+RW, +ZI); 其它读写数据以及清零区域放在片外 RAM 里

```
}
```

```
}
```

4.2 调试

当所有程序编写完成并通过编译器的编译链接后,就可以进行调试工作了,调试有模拟调试和板上调试两种,这里主要讨论板上调试工作。为了降低开发成本,ARM 支持廉价的 JTAG 调试。JTAG 调试器通过 TCK、TMS、TDI、TDO 与 ARM 内核中的 ICE 模块进行信息交流,使用户可以获得每条指令运行后 ARM 的状态信息,有 DSP 开发经验的人对此是很熟悉的。

调试的过程很简单,就是在 ARM 集成开发环境下通过单步运行来验证程序功能是否与设想一样,笔者使用的是 KEIL 7.0 的开发环境,ADS 1.2 的编译器。首先把编译链接生成的 AXF 文件通过 JTAG 调试器下载到板上的 FLASH 中,完成后 ARM 从 FLASH 里读取指令运行,当遇到用户设定的断点后,ARM 核各寄存器的信息以及存储器的信息通过 JTAG 调试器就传到开发环境中,用户根据这些信息解决程序错误,直至程序满足设计要求,最后完成 FLASH 的烧写。

由于板上调试过程是基于整个 ARM 硬件

电路板的,所以示波器、万用表这些工具也是必需的,当程序没有错误,但功能仍不满足目的时,就要考虑是否硬件线路的问题了,此时就需要用示波器、万用表参考 PCB 原理图进行观察排故,具体过程不再详述。调试时建议系统时钟不要设置的太高,如果 PCB 布线不合理的话,高时钟会带来一些莫名其妙的问题。另外 AT91M40800 内核和 I/O 工作电压是 3.3V,而外围设备的工作电压一般都是 5V,这些在做原理设计时就应多注意,一旦接错很容易烧片子。

5 结束语

随着工程开发的需求,越来越多的工程技术人员开始使用 ARM 进行开发,本文有助于初学者理解 ARM 的启动过程,结合自己的开发板硬件设置写出相应的启动代码。笔者根据自己的经验,建议初学者开始不要贪多,先抛弃所有可

以不需要的设置,只运行几条指令就行,然后慢慢增加代码量,加 C 程序、加中断、加外围设备,等最终这些都实现了,就会发现已经对 ARM 的硬件结构有了较清晰的认识了,实际应用到工程开发中就很容易了。

参考文献

- [1] [英]Steve Furber 著,田泽等译. ARM SOC 体系结构[M].北京:北京航空航天大学出版社,2002
- [2] 马广云等. ARM 嵌入式处理器结构与应用基础.北京航空航天大学出版社,2002
- [3] Atmel Corporation. AT91M40800 DATA SHEET. <http://www.atmel.com>,2002
- [4] Atmel Corporation. AT91 Assembler Code StartupSequence for C Code Application Software. <http://www.atmel.com>,2002
- [5] ADS Version 1.2 Linker and Utilities Guide. ARM Limited,2001

(上接第 59 页)

```
}  
    handleConnection (); //读服务器文件内  
    容,写入客户机,方法内容省略  
}  
}
```

4 结束语

Java 对网络通信方面的支持是相当强大的,而网络编程又少不了多线程的支持,本文以网络编程对 Java 多线程同步机制进行了探讨,多线程的优点是可以合理协调多个互相独立的任务,但

在处理共享数据或共享存储结构时可能会产生数据不一致的错误,导致不可预料的运行结果。所以,线程间的同步,线程间的通信调度是非常重要的。因此,我们要深入了解 Java 多线程同步机制,才能更好的发挥多线程应用的优势。

参考文献

- [1] 东方人华. Java 2 范例入门与提高. 清华大学出版社,2003
- [2] Bruce Eckel. Thinking in Java (2nd Edition). Prentice Hall, 2000
- [3] Richard C. Lee. UML 与 Java 面向对象开发实践. 王晨微译. 清华大学出版社,2003

嵌入式资源免费下载

总线协议:

1. [基于 PCIe 驱动程序的数据传输卡 DMA 传输](#)
2. [基于 PCIe 总线协议的设备驱动开发](#)
3. [CANopen 协议介绍](#)
4. [基于 PXI 总线 RS422 数据通信卡 WDM 驱动程序设计](#)
5. [FPGA 实现 PCIe 总线 DMA 设计](#)
6. [PCI Express 协议实现与验证](#)
7. [VPX 总线技术及其实现](#)
8. [基于 Xilinx FPGA 的 PCIE 接口实现](#)
9. [基于 PCI 总线的 GPS 授时卡设计](#)
10. [基于 CPCI 标准的 6U 信号处理平台的设计](#)
11. [USB30 电路保护](#)
12. [USB30 协议分析与框架设计](#)
13. [USB 30 中的 CRC 校验原理及实现](#)
14. [基于 CPLD 的 UART 设计](#)
15. [IPMI 在 VPX 系统中的应用与设计](#)
16. [基于 CPCI 总线的 PMC 载板设计](#)
17. [基于 VPX 总线的工件台运动控制系统研究与开发](#)
18. [PCI Express 流控机制的研究与实现](#)
19. [UART16C554 的设计](#)
20. [基于 VPX 的高性能计算机设计](#)
21. [基于 CAN 总线技术的嵌入式网关设计](#)
22. [Visual C 串行通讯控件使用方法与技巧的研究](#)
23. [IEEE1588 精密时钟同步关键技术研究](#)
24. [GPS 信号发生器射频模块的一种实现方案](#)
25. [基于 CPCI 接口的视频采集卡的设计](#)
26. [基于 VPX 的 3U 信号处理平台的设计](#)
27. [基于 PCI Express 总线 1394b 网络传输系统 WDM 驱动设计](#)
28. [AT89C52 单片机与 ARINC429 航空总线接口设计](#)
29. [基于 CPCI 总线多 DSP 系统的高速主机接口设计](#)
30. [总线协议中的 CRC 及其在 SATA 通信技术中的应用](#)
31. [基于 FPGA 的 SATA 硬盘加解密控制器设计](#)
32. [Modbus 协议在串口通讯中的研究及应用](#)
33. [高可用的磁盘阵列 Cache 的设计和实现](#)
34. [RAID 阵列中高速 Cache 管理的优化](#)

35. [一种新的基于 RAID 的 CACHE 技术研究](#)与实现
36. [基于 PCIE-104 总线的高速数据接口设计](#)
37. [基于 VPX 标准的 RapidIO 交换和 Flash 存储模块设计](#)
38. [北斗卫星系统在海洋工程中的应用](#)
39. [北斗卫星系统在远洋船舶上应用的研究](#)
40. [基于 CPCI 总线的红外实时信号处理系统](#)
41. [硬件实现 RAID 与软件实现 RAID 的比较](#)
42. [基于 PCI Express 总线系统的热插拔设计](#)
43. [基于 RAID5 的磁盘阵列 Cache 的研究与实现](#)

VxWorks:

1. [基于 VxWorks 的多任务程序设计](#)
2. [基于 VxWorks 的数据采集存储装置设计](#)
3. [Flash 文件系统分析及其在 VxWorks 中的实现](#)
4. [VxWorks 多任务编程中的异常研究](#)
5. [VxWorks 应用技巧两例](#)
6. [一种基于 VxWorks 的飞行仿真实时管理系统](#)
7. [在 VxWorks 系统中使用 TrueType 字库](#)
8. [基于 FreeType 的 VxWorks 中文显示方案](#)
9. [基于 Tilcon 的 VxWorks 简单动画开发](#)
10. [基于 Tilcon 的某武器显控系统界面设计](#)
11. [基于 Tilcon 的综合导航信息处理装置界面设计](#)
12. [VxWorks 的内存配置和管理](#)
13. [基于 VxWorks 系统的 PCI 配置与应用](#)
14. [基于 MPC8270 的 VxWorks BSP 的移植](#)
15. [Bootrom 功能改进经验谈](#)
16. [基于 VxWorks 嵌入式系统的中文平台研究与实现](#)
17. [VxBus 的 A429 接口驱动](#)
18. [基于 VxBus 和 MPC8569E 千兆网驱动开发和实现](#)
19. [一种基于 vxBus 的 PPC 与 FPGA 高速互联的驱动设计方法](#)
20. [基于 VxBus 的设备驱动开发](#)
21. [基于 VxBus 的驱动程序架构分析](#)
22. [基于 VxBus 的高速数据采集卡驱动程序开发](#)
23. [Vxworks 下的冗余 CAN 通讯模块设计](#)
24. [WindML 工业平台下开发 S1d13506 驱动及显示功能的实现](#)

Linux:

1. [Linux 程序设计第三版及源代码](#)
2. [NAND FLASH 文件系统的设计与实现](#)
3. [多通道串行通信设备的 Linux 驱动程序实现](#)
4. [Zsh 开发指南-数组](#)
5. [常用 GDB 命令中文速览](#)
6. [嵌入式 C 进阶之道](#)
7. [Linux 串口编程实例](#)
8. [基于 Yocto Project 的嵌入式应用设计](#)
9. [Android 应用的反编译](#)
10. [基于 Android 行为的加密应用系统研究](#)
11. [嵌入式 Linux 系统移植步步通](#)
12. [嵌入式 C++语言精华文章集锦](#)
13. [基于 Linux 的高性能服务器端的设计与研究](#)
14. [S3C6410 移植 Android 内核](#)
15. [Android 开发指南中文版](#)
16. [图解 Linux 操作系统架构设计与实现原理（第二版）](#)
17. [如何在 Ubuntu 和 Linux Mint 下轻松升级 Linux 内核](#)
18. [Android 简单 mp3 播放器源码](#)
19. [嵌入式 Linux 系统实时性的研究](#)
20. [Android 嵌入式系统架构及内核浅析](#)
21. [基于嵌入式 Linux 操作系统内核实时性的改进方法研究](#)
22. [Linux TCP IP 协议详解](#)
23. [Linux 桌面环境下内存去重技术的研究与实现](#)
24. [掌握 Android 7.0 新增特性 Quick Settings](#)
25. [Android 应用逆向分析方法研究](#)
26. [Android 操作系统的课程教学](#)
27. [Android 智能手机操作系统的研究](#)
28. [Android 英文朗读功能的实现](#)
29. [基于 Yocto 订制嵌入式 Linux 发行版](#)
30. [基于嵌入式 Linux 的网络设备驱动设计与实现](#)
31. [如何高效学习嵌入式](#)
32. [基于 Android 平台的 GPS 定位系统的设计与实现](#)

Windows CE:

1. [Windows CE.NET 下 YAFFS 文件系统 NAND Flash 驱动程序设计](#)
2. [Windows CE 的 CAN 总线驱动程序设计](#)
3. [基于 Windows CE.NET 的 ADC 驱动程序实现与应用的研究](#)

4. [基于 Windows CE.NET 平台的串行通信实现](#)
5. [基于 Windows CE.NET 下的 GPRS 模块的研究与开发](#)
6. [win2k 下 NTFS 分区用 ntldr 加载进 dos 源代码](#)
7. [Windows 下的 USB 设备驱动程序开发](#)
8. [WinCE 的大容量程控数据传输解决方案设计](#)
9. [WinCE6.0 安装开发详解](#)
10. [DOS 下仿 Windows 的自带计算器程序 C 源码](#)
11. [G726 局域网语音通话程序和源代码](#)
12. [WinCE 主板加载第三方驱动程序的方法](#)
13. [WinCE 下的注册表编辑程序和源代码](#)
14. [WinCE 串口通信源代码](#)
15. [WINCE 的 SD 卡程序\[可实现读写的源码\]](#)
16. [基于 WinCE 的 BootLoader 研究](#)
17. [Windows CE 环境下无线网卡的自动安装](#)
18. [基于 Windows CE 的可视电话的研究与实现](#)

PowerPC:

1. [Freescale MPC8536 开发板原理图](#)
2. [基于 MPC8548E 的固件设计](#)
3. [基于 MPC8548E 的嵌入式数据处理系统设计](#)
4. [基于 PowerPC 嵌入式网络通信平台的实现](#)
5. [PowerPC 在车辆显控系统中的应用](#)
6. [基于 PowerPC 的单板计算机的设计](#)
7. [用 PowerPC860 实现 FPGA 配置](#)
8. [基于 MPC8247 嵌入式电力交换系统的设计与实现](#)
9. [基于设备树的 MPC8247 嵌入式 Linux 系统开发](#)
10. [基于 MPC8313E 嵌入式系统 UBoot 的移植](#)
11. [基于 PowerPC 处理器 SMP 系统的 UBoot 移植](#)
12. [基于 PowerPC 双核处理器嵌入式系统 UBoot 移植](#)
13. [基于 PowerPC 的雷达通用处理机设计](#)
14. [PowerPC 平台引导加载程序的移植](#)

ARM:

1. [基于 DiskOnChip 2000 的驱动程序设计及应用](#)
2. [基于 ARM 体系的 PC-104 总线设计](#)
3. [基于 ARM 的嵌入式系统中断处理机制研究](#)
4. [设计 ARM 的中断处理](#)
5. [基于 ARM 的数据采集系统并行总线的驱动设计](#)
6. [S3C2410 下的 TFT LCD 驱动源码](#)
7. [STM32 SD 卡移植 FATFS 文件系统源码](#)
8. [STM32 ADC 多通道源码](#)
9. [ARM Linux 在 EP7312 上的移植](#)
10. [ARM 经典 300 问](#)
11. [基于 S5PV210 的频谱监测设备嵌入式系统设计与实现](#)
12. [Uboot 中 start.S 源码的指令级的详尽解析](#)
13. [基于 ARM9 的嵌入式 Zigbee 网关设计与实现](#)
14. [基于 S3C6410 处理器的嵌入式 Linux 系统移植](#)
15. [CortexA8 平台的 \$\mu\$ C-OS II 及 LwIP 协议栈的移植与实现](#)
16. [基于 ARM 的嵌入式 Linux 无线网卡设备驱动设计](#)
17. [ARM S3C2440 Linux ADC 驱动](#)
18. [ARM S3C2440 Linux 触摸屏驱动](#)
19. [Linux 和 Cortex-A8 的视频处理及数字微波传输系统设计](#)
20. [Nand Flash 启动模式下的 Uboot 移植](#)
21. [基于 ARM 处理器的 UART 设计](#)

Hardware:

1. [DSP 电源的典型设计](#)
2. [高频脉冲电源设计](#)
3. [电源的综合保护设计](#)
4. [任意波形电源的设计](#)
5. [高速 PCB 信号完整性分析及应用](#)
6. [DM642 高速图像采集系统的电磁干扰设计](#)
7. [使用 COMExpress Nano 工控板实现 IP 调度设备](#)
8. [基于 COM Express 架构的数据记录仪的设计与实现](#)
9. [基于 COM Express 的信号系统逻辑运算单元设计](#)
10. [基于 COM Express 的回波预处理模块设计](#)
11. [基于 X86 平台的简单多任务内核的分析与实现](#)
12. [基于 UEFI Shell 的 PreOS Application 的开发与研究](#)
13. [基于 UEFI 固件的恶意代码防范技术研究](#)
14. [MIPS 架构计算机平台的支持固件研究](#)
15. [基于 UEFI 固件的攻击验证技术研究](#)

RT Embedded <http://www.kontronn.com>

16. [基于 UEFI 的 Application 和 Driver 的分析与开发](#)

Programming:

1. [计算机软件基础数据结构 - 算法](#)